

ЭЛЕКТРИЧЕСКИЕ  
И МАГНИТНЫЕ СВОЙСТВА

УДК 537.638.5

ОСОБЕННОСТИ МАГНИТОКАЛОРИЧЕСКОГО ЭФФЕКТА  
ВБЛИЗИ ТОЧКИ ФАЗОВОГО ПЕРЕХОДА II РОДА  
В ФЕРРОМАГНЕТИКЕ С БИКВАДРАТИЧНЫМ ОБМЕНОМ

© 2021 г. Е. Е. Кокорина<sup>а</sup>, \*, М. В. Медведев<sup>а</sup>, \*\*

<sup>а</sup>Институт электрофизики УрО РАН, ул. Амундсена, 106, Екатеринбург, 620016 Россия

\*e-mail: kokorina@iep.uran.ru

\*\*e-mail: medvedev@iep.uran.ru

Поступила в редакцию 29.10.2020 г.

После доработки 02.02.2021 г.

Принята к публикации 10.02.2021 г.

Исследован магнитокалорический эффект (изменение магнитной энтропии при изотермическом намагничивании  $\Delta S_M(H)$ ) в модели ферромагнетика с билинейным ( $I > 0$ ) и биквадратичным ( $K > 0$ ) обменными взаимодействиями между ближайшими магнитными соседями для той области отношений параметров обмена  $I$  и  $K$ , в которой переход из парамагнитного состояния в магнитоупорядоченное является переходом II рода. В приближении среднего поля получен термодинамический потенциал магнитоупорядоченного состояния, который характеризуется двумя параметрами порядка – дипольным (относительной намагниченностью)  $\sigma_z$  и квадрупольным  $q_0$ , и рассмотрено температурное и полевое поведение параметров порядка этого ферроквадрупольного состояния вблизи точки Кюри  $T_C$ . Установлено, что показатели степенных зависимостей изменения магнитной энтропии от магнитного поля  $H$  совпадают с показателями степенной зависимости изменения энтропии обычного ферромагнетика только с одним билинейным обменом, т.е. изменение энтропии  $\Delta S_M(T_C, H)$  в точке Кюри  $T_C$  пропорционально  $-H^{2/3}$ , несколько ниже  $T_C$  будет  $\Delta S_M(T < T_C, H) \sim -H$  и выше  $T_C$  имеет место  $\Delta S_M(T > T_C, H) \sim -H^2$ . В то же время коэффициенты перед этими степенными множителями в энтропии существенно зависят от отношений параметров обмена  $I$  и  $K$  – они минимальны при  $K = 0$  и заметно увеличиваются по абсолютной величине при возрастании отношения  $K/I$ , отражая усиление понижения энтропии по мере усиления вклада от биквадратичного обмена.

*Ключевые слова:* магнитокалорический эффект, биквадратичный обмен

DOI: 10.31857/S0015323021070044

1

Магнитокалорические эффекты (МКЭ) в ферро- и ферримагнетиках имеют максимальную величину вблизи температур фазового перехода либо II, либо I рода между магнитоупорядоченным и парамагнитным состояниями [1–3]. Эти эффекты привлекают сейчас большое внимание в связи с перспективами создания охлаждающих устройств без использования жидких хладагентов [4].

С теоретической точки зрения полевые и температурные зависимости МКЭ – изменения магнитной энтропии при изотермическом намагничивании и изменения температуры при адиабатическом намагничивании – в случаях фазовых переходов II рода довольно хорошо описываются в рамках моделей билинейного гейзенберговского обмена между локализованными магнитными

моментами вида  $IS_1S_2$  [3], где  $I > 0$  – параметр ферромагнитного обменного взаимодействия между спинами  $S_1$  и  $S_2$ . В то же время в рамках модели билинейного обмена на несжимаемой кристаллической решетке не удается получить магнитный фазовый переход I рода типа “порядок–беспорядок”, который экспериментально наблюдается в ряде магнетиков, и поэтому не удается описать связанные с этим переходом изменения термодинамических характеристик, включая и особенности МКЭ.

Проблема объяснения причин появления фазового перехода I рода в магнетиках была отчасти решена Бином и Родбеллом [5], которые предложили дополнительно учесть взаимодействие магнитной подсистемы со сжимаемой кристаллической решеткой и зависимость величины обменных взаимодействий от межатомных расстояний.

Дальнейшее развитие этого подхода в применении к МКЭ позволило описать полевые и температурные закономерности поведения МКЭ в случае магнитного фазового перехода I рода на сжимаемой решетке (см., напр., [6, 7]).

Существует и другая физическая причина возникновения фазового перехода I рода в ферромагнетиках, она имеет чисто магнитную природу и связана с существованием биквадратичного обменного взаимодействия в магнетиках с локализованными спиновыми моментами в случаях величин спинов  $S \geq 1$ . Заметим, что идея существования биквадратичного обмена вида  $K(S_1 S_2)^2$ , где  $K$  – параметр обмена, была впервые высказана Шрёдингером еще в 1941 г., а в последующем она получила микроскопическое обоснование в работе Андерсона [8] и Хуанга и Орбаха [9].

При этом сам параметр биквадратичного обмена  $K$  может быть и положительным, и отрицательным. К настоящему времени заметное влияние биквадратичного обменного взаимодействия на физические свойства магнетиков установлено как в магнитных соединениях с невысокими или умеренными температурами магнитных переходов (например, в халькогенидах европия [10], в мультиферроике  $\text{YMnO}_3$  [11], в сверхпроводящих ферропниктидах [12], в многослойных магнитных гетероструктурах [13], в многочисленных солях и халькогенидах переходных металлов [14]), так и даже в ОЦК-железе с высокотемпературной точкой Кюри  $T_C$  [15].

Дальнейшие исследования магнитных фазовых состояний в модели с одновременным существованием изотропных билинейных и биквадратичных обменов показали, что в зависимости от соотношения параметров билинейного ( $I > 0$ ) и биквадратичного ( $K > 0$ ) обменов при понижении температуры в магнетике возникает либо ферромагнитное (точнее говоря, ферро-квадрупольное, так как наличие двух разных механизмов обмена приводит к появлению двух разных параметров порядка – дипольному и квадрупольному), либо чисто квадрупольное упорядочение [16–26]. При этом ферроквадрупольное состояние с конечной намагниченностью, в свою очередь, в зависимости от отношения параметров обмена  $K/I$ , при понижении температуры может возникать как путем фазового перехода II рода, так и I рода. В целом, общая картина фазовых магнитных состояний [16–26] в этой модели обменных взаимодействий изучена достаточно хорошо, однако вопросы изменения магнитной энтропии в магнитном поле вблизи точек фазовых переходов не были исследованы. Таким образом, модель магнетика с одновременным наличием билинейного и биквадратичного обмена дает возможности изучить и сравнить особенности МКЭ в случаях фазового

перехода как II, так и I рода в рамках единого модельного подхода.

В настоящей работе в рамках приближения среднего поля получено выражение для термодинамического потенциала магнетика с билинейным и биквадратичным обменом между ближайшими магнитными соседями, которое учитывает появление дипольного и квадрупольного параметров порядка, и рассмотрена возможность перехода в такое ферроквадрупольное состояние путем фазового перехода II рода. Затем вблизи точки фазового перехода II рода (точка Кюри  $T_C$ ) исследовано температурное и полевое поведение параметров порядка и на основе этого изучено изменение магнитной энтропии в магнитном поле.

## 2

Гамильтониан магнетика с билинейным и биквадратичным обменным взаимодействием между ближайшими магнитными соседями имеет вид:

$$\tilde{H} = -\frac{1}{2} \sum_{n=1}^N \sum_{\Delta=1}^z \left[ I S_n S_{n+\Delta} + K (S_n S_{n+\Delta})^2 \right] - \mu_0 H \sum_{n=1}^N S_{Zn}. \quad (1)$$

Здесь  $I > 0$  и  $K > 0$ , сумма по  $\Delta$  переходит по  $z$  ближайшим магнитным соседям,  $H$  – магнитное поле вдоль оси  $OZ$ ,  $\mu_0 \equiv g\mu_B$  ( $g$  – фактор Ланде).

Для дальнейших расчетов биквадратичное произведение спинов  $(S_n S_{n+\Delta})^2$  преобразуем к произведению квадрупольных операторов  $Q_n$ , вводя их следующим образом [19, 26]:

$$Q_{0n} = 3S_{Zn}^2 - S(S+1), \quad Q_{2n} = S_{Xn}^2 - S_{Yn}^2, \quad (2)$$

$$Q_{2n}^{\alpha\gamma} = S_{\alpha n} S_{\gamma n} + S_{\gamma n} S_{\alpha n}, \quad (\alpha\gamma = XY, YZ, ZX).$$

Гамильтониан  $\tilde{H}$  (1) после такого преобразования примет форму [19]:

$$\tilde{H} = -\frac{1}{6} NKz[S(S+1)]^2 - \mu_0 H \sum_{n=1}^N S_{Zn} - \frac{1}{2} \sum_{n=1}^N \sum_{\Delta=1}^z \left[ \left( I - \frac{1}{2} K \right) S_n S_{n+\Delta} + \frac{1}{2} K \left( \frac{1}{3} Q_{0n} Q_{0,n+\Delta} + \right. \right. \quad (3)$$

$$\left. \left. + Q_{2n} Q_{2,n+\Delta} + \sum_{\alpha\gamma=XY,YZ,ZX} Q_{2n}^{\alpha\gamma} Q_{2,n+\Delta}^{\alpha\gamma} \right) \right].$$

Заметим, что при таком переходе от  $(S_n S_{n+\Delta})^2$  к квадрупольным операторам дополнительно выделяется билинейный член  $S_n S_{n+\Delta}$ , и поэтому параметр билинейного обмена перенормируется по сравнению с гамильтонианом (1).

Исследуем термодинамику модели, вводя приближение среднего поля. Если не конкретизиро-

вать магнитную структуру упорядоченного состояния, то, применив процедуру введения среднего поля ко всем парным произведениям спиновых и квадрупольных операторов соседних узлов, получим гамильтониан среднего поля в виде:

$$\tilde{H}^{MF} = \tilde{C} - \mu_0 H \sum_{n=1}^N S_{Zn} - \left(I - \frac{1}{2}K\right) z \sum_{n=1}^N \sum_{\alpha=X,Y,Z} \sigma_\alpha S_{\alpha n} - \frac{1}{2} K z \sum_{n=1}^N \left( \frac{1}{3} q_0 Q_{0n} + q_2 Q_{2n} + \sum_{\alpha\gamma=XY,YZ,ZX} q_{2n}^{\alpha\gamma} Q_{2n}^{\alpha\gamma} \right), \quad (4)$$

где

$$\tilde{C} = N z \left\{ -\frac{1}{6} K [S(S+1)]^2 + \frac{1}{2} \left(I - \frac{1}{2}K\right) \times \left( \sigma_X^2 + \sigma_Y^2 + \sigma_Z^2 \right) + \frac{1}{4} K \left[ \frac{1}{3} q_0^2 + q_2^2 + \sum_{\alpha\gamma} (q_{2n}^{\alpha\gamma})^2 \right] \right\}. \quad (5)$$

При этом термодинамические средние одноузельных дипольных  $\sigma_\alpha$  и квадрупольных  $q_0, q_2$  и  $q_2^{\alpha\gamma}$  операторов выступают в роли параметров порядка, характеризующих магнитные структуры всех возможных упорядоченных фаз:

$$\sigma_\alpha = \langle S_{\alpha n} \rangle, \quad q_0 = \langle Q_{0n} \rangle, \quad q_2 = \langle Q_{2n} \rangle, \quad q_2^{\alpha\gamma} = \langle Q_{2n}^{\alpha\gamma} \rangle. \quad (6)$$

Рассмотрим теперь только случай ферромагнитного упорядочения вдоль оси  $OZ$  по направлению магнитного поля и ограничимся в дальнейшем случаем спина  $S = 1$ . Тогда волновая функция основного ферромагнитного состояния  $|\Psi_f\rangle$  с параллельным выстраиванием всех спинов вдоль оси  $OZ$  будет иметь вид:

$$\left| \Psi_f \geq \prod_{n=1}^N 1 \right\rangle, \quad \text{где } S_{Zn} |1\rangle_n = |1\rangle_n. \quad (7)$$

Поэтому в основном состоянии при  $T = 0$  из всех возможных параметров порядка (6) будут отличны от нуля только два:

$$\begin{aligned} \sigma_Z(T=0) &= \langle \Psi_f | S_{Zn} | \Psi_f \rangle = 1, \\ q_0(T=0) &= \langle \Psi_f | Q_{0n} | \Psi_f \rangle = \\ &= \langle \Psi_f | 3S_{Zn}^2 - 2 | \Psi_f \rangle = 1. \end{aligned} \quad (8)$$

Тогда будем считать, что такое магнитное упорядочение и при конечных температурах  $T \neq 0$  характеризуется только двумя параметрами порядка – дипольным  $\sigma_Z$  и квадрупольным  $q_0$ , а все остальные термодинамические средние (6) равны нулю. Нетрудно также видеть, что параметр порядка  $\sigma_Z = \langle S_{Zn} \rangle$  по своему физическому смыслу является относительной намагниченностью ферромагнитного состояния (на один узел) для спиновой системы с  $S = 1$ .

В результате гамильтониан (4) для ферромагнитной фазы становится равным

$$\begin{aligned} \tilde{H}_f^{MF} &= \sum_{n=1}^N \tilde{H}_f^{MF}(n) = \\ &= \sum_n (\tilde{C}_f(n) - h_f S_{Zn} - h_{q_0} Q_{0n}), \end{aligned} \quad (9)$$

где теперь

$$\tilde{C}_f(n) = z \left[ -\frac{2}{3} K + \frac{1}{2} \left(I - \frac{1}{2}K\right) \sigma_Z^2 + \frac{1}{12} K q_0^2 \right] \quad (10)$$

и где для краткости обозначено

$$h_f = \mu_0 H + \left(I - \frac{1}{2}K\right) z \sigma_Z, \quad h_{q_0} = \frac{1}{6} K z q_0. \quad (11)$$

Тогда термодинамический потенциал (ТДП) магнетика будет равен (на один магнитный атом):

$$\begin{aligned} F_f &= -\beta^{-1} \ln Sp \exp(-\beta \tilde{H}_f^{MF}(n)) = \\ &= \tilde{C}_f(n) - \beta^{-1} \ln [2 \exp(\beta h_{q_0}) \operatorname{ch}(\beta h_f) + \\ &+ \exp(-2\beta h_{q_0})], \quad \beta = 1/k_B T, \end{aligned} \quad (12)$$

и магнитная энтропия  $S_M$  равна

$$\begin{aligned} S_M &= \left[ \langle \tilde{H}_f^{MF}(n) \rangle - F_f \right] / T = \\ &= k_B \{ \ln [2 \exp(\beta h_{q_0}) \operatorname{ch}(\beta h_f) + \\ &+ \exp(-2\beta h_{q_0})] - \beta (h_f \sigma_Z + h_{q_0} q_0) \}. \end{aligned} \quad (13)$$

Уравнения для определения положений точек экстремумов  $F_f$  в пространстве переменных  $\sigma_Z$  и  $q_0$

$$\frac{\partial F_f}{\partial \sigma_Z} = 0, \quad \frac{\partial F_f}{\partial q_0} = 0 \quad (14)$$

дают два самосогласованных уравнения для определения значений  $\sigma_Z$  и  $q_0$ :

$$\begin{aligned} \sigma_Z &= \frac{2 \operatorname{sh} \left\{ \left[ \mu_0 H + \left(I - \frac{1}{2}K\right) z \sigma_Z \right] \right\}}{2 \operatorname{ch} \left\{ \beta \left[ \mu_0 H + \left(I - \frac{1}{2}K\right) z \sigma_Z \right] \right\} + \exp \left( -\frac{1}{2} \beta K z q_0 \right)}, \\ q_0 &= \frac{2 \operatorname{ch} \left\{ \beta \left[ \mu_0 H + \left(I - \frac{1}{2}K\right) z \sigma_Z \right] \right\} - 2 \exp \left( -\frac{1}{2} \beta K z q_0 \right)}{2 \operatorname{ch} \left\{ \beta \left[ \mu_0 H + \left(I - \frac{1}{2}K\right) z \sigma_Z \right] \right\} + \exp \left( -\frac{1}{2} \beta K z q_0 \right)}. \end{aligned} \quad (15)$$

Чтобы выяснить, соответствуют ли значения  $\sigma_Z$  и  $q_0$ , находимые из (15), точкам локальных минимумов или максимумов ТДП  $F_f$  при заданных  $T$  и  $H$ , необходимо исследовать знаки вторых производных  $F_f$  по  $\sigma_Z$  и  $q_0$ . Условия минимума требуют, чтобы выполнялись неравенства:

$$\begin{aligned} \frac{\partial^2 F_f}{\partial \sigma_Z^2} &= \left(I - \frac{1}{2}K\right)z \left\{1 - 2\beta \left(I - \frac{1}{2}K\right); \right. \\ &\quad \left. z \frac{2 + \exp(-3\beta h_{q_0}) \operatorname{ch}(\beta h_f)}{[2\operatorname{ch}(\beta h_f) + \exp(-3\beta h_{q_0})]^2} \right\} > 0; \\ \Delta(\sigma_Z, q_0) &\equiv \frac{\partial^2 F_f}{\partial \sigma_Z^2} \frac{\partial^2 F_f}{\partial q_0^2} - \left(\frac{\partial^2 F_f}{\partial q_0 \partial \sigma_Z}\right)^2 = \\ &= -\frac{1}{6}K \left(I - \frac{1}{2}K\right) z^2 [2\operatorname{ch}(\beta h_f) + \\ &\quad + \exp(-3\beta h_{q_0})]^3 D > 0, \end{aligned} \quad (16)$$

где обозначено

$$\begin{aligned} D &= [2\operatorname{ch}(\beta h_f) + \exp(-3\beta h_{q_0})]^3 - \beta z \times \\ &\times [4I - 2K + (2I + 4K) \operatorname{ch}(\beta h_f) \exp(-3\beta h_{q_0}) \times \\ &\quad \times 2\operatorname{ch}(\beta h_f) + \exp(-3\beta h_{q_0})] + \\ &\quad + 6\beta^2 z^2 K \left(I - \frac{1}{2}K\right) \exp(-3\beta h_{q_0}). \end{aligned} \quad (17)$$

Очевидно, что условие  $\Delta(\sigma_Z, q_0) = 0$ , решаемое совместно с уравнением (15) для  $\sigma_Z(T, H)$  и  $q_0(T, H)$  при фиксированных  $H$ , будет на кривых температурных зависимостей  $\sigma_Z(T, H)$  и  $q_0(T, H)$  определять границу между термодинамически устойчивыми значениями  $\sigma_Z(T, H)$  и  $q_0(T, H)$ , отвечающими локальным минимумам ТДП, и термодинамически неустойчивым значениям этих же параметров, отвечающих максимумам ТДП.

3

Исследуем поведение параметров порядка  $\sigma_Z$  и  $q_0$ , предполагая, что магнитное упорядочение возникает путем фазового перехода II рода. При высоких температурах, считая  $\sigma_Z \ll 1$  и  $q_0 \ll 1$ , получим разложение ТДП  $F_f$  (12) в ряд как

$$\begin{aligned} F_f &\approx -\beta^{-1} \ln 3 - \frac{2}{3}Kz + \frac{1}{2} \left(I - \frac{1}{2}K\right) \times \\ &\quad \times z \left[1 - \frac{2}{3}\beta \left(I - \frac{1}{2}K\right) z\right] \times \\ &\quad \times \sigma_Z^2 + \frac{1}{12}Kz \left(1 - \frac{1}{3}\beta Kz\right) q_0^2 + \\ &\quad + \frac{1}{36}\beta^3 \left(I - \frac{1}{2}K\right)^4 z^4 \sigma_Z^4 - \\ &\quad - \frac{1}{18}\beta^2 K \left(I - \frac{1}{2}K\right)^2 z^3 q_0 \sigma_Z^2 - \frac{2}{3}\beta \left(I - \frac{1}{2}K\right) z \sigma_Z \mu_0 H. \end{aligned} \quad (18)$$

Из (18) видно, что температура Кюри  $T_C$  определяется как

$$\beta_C^{-1} \equiv k_B T_C = \frac{2}{3} \left(I - \frac{1}{2}K\right) z. \quad (19)$$

Ограничиваясь температурами, близкими к  $T_C$ , и рассматривая относительное отклонение температуры  $T$  от точки Кюри  $T_C$  в виде  $t = (T_C - T)/T_C \ll 1$  как параметр малости, приведем  $F_f$  (18) к виду

$$\begin{aligned} F_f &\approx -\beta^{-1} \ln 3 - \frac{2}{3}Kz - \frac{1}{2} \left(I - \frac{1}{2}K\right) z t \sigma_Z^2 + \\ &\quad + \frac{3}{32} \left(I - \frac{1}{2}K\right) z \sigma_Z^4 + \frac{K(I-K)}{6(2I-K)} z q_0^2 - \\ &\quad - \frac{1}{8}Kz q_0 \sigma_Z^2 - \mu_0 H \sigma_Z. \end{aligned} \quad (20)$$

Условия  $\partial F_f / \partial \sigma_Z = 0$ ,  $\partial F_f / \partial q_0 = 0$  дают уравнение для определения  $\sigma_Z$  и  $q_0$  вблизи  $T_C$ :

$$\begin{cases} \left(I - \frac{1}{2}K\right) z \left(-t \sigma_Z + \frac{3}{8}\sigma_Z^3\right) - \frac{1}{4}Kz q_0 \sigma_Z - \mu_0 H = 0 \\ \frac{I-K}{3(2I-K)} q_0 - \frac{1}{8}\sigma_Z^2 = 0. \end{cases} \quad (21)$$

В случае  $H = 0$  решения (21) описывают следующие спонтанные состояния:

1) парамагнитное состояние с

$$\sigma_Z = 0, \quad q_0 = 0, \quad (22)$$

которое, как можно убедиться из соотношений (16), термодинамически устойчиво при температурах выше точки Кюри  $T > T_C$  и соотношениях параметров обмена  $I > K$ .

2) магнитное состояние с ненулевыми параметрами порядка

$$\begin{aligned} \sigma_Z^2(H=0) &= \frac{16}{3} \left(\frac{I-K}{2I-3K}\right) \left(1 - \frac{T}{T_C}\right), \\ q_0 &= 2 \frac{(2I-K)}{(2I-3K)} \left(1 - \frac{T}{T_C}\right), \end{aligned} \quad (23)$$

которое термодинамически устойчиво при  $T < T_C$  и соотношении параметров обмена  $K/I < \frac{2}{3}$ .

Заметим, что для области значений параметров обмена  $I > K$ ,  $3K > 2I$  (т.е.  $1 > K/I > \frac{2}{3}$ ) также существуют решения с вещественными значениями параметров порядка

$$\begin{aligned} \sigma_Z^2(H=0) &= \frac{16}{3} \left(\frac{I-K}{3K-2I}\right) \left(\frac{T}{T_C} - 1\right) > 0, \\ q_0 &= 2 \frac{(2I-K)}{(3K-2I)} \left(\frac{T}{T_C} - 1\right) > 0. \end{aligned} \quad (24)$$

Однако эти решения подразумевают нефизическую картину существования магнитного упорядочения в области температур  $T > T_C$  выше точки Кюри и увеличение параметров порядка при повышении температуры. Можно убедиться, что эти решения отвечают точкам максимумов ТДП и поэтому являются термодинамически неустойчивыми. Таким образом, условия  $0 < K/I < 2/3$  ограничивают область фазовых переходов II рода в ферромагнетике с биквадратичным обменом, а значение  $K/I = 2/3$  дает трикритическую точку на шкале отношений параметров обмена.

В случае конечного магнитного поля  $H \neq 0$  из уравнений (21) следует кубическое уравнение для  $\sigma_Z$ :

$$\sigma_Z^3 - \frac{16}{3} \left( \frac{I-K}{2I-3K} \right) t \sigma_Z - \frac{32}{9} \left( \frac{I-K}{2I-3K} \right) \frac{\mu_0 H}{k_B T_C} = 0. \quad (25)$$

Отсюда при  $t = 0$  (т.е.  $T = T_C$ ) получим

$$\begin{aligned} \sigma_Z(T_C, H) &= 2 \left[ \frac{4}{9} \left( \frac{I-K}{2I-3K} \right) \frac{\mu_0 H}{k_B T_C} \right]^{1/3}, \\ q_0(T_C, H) &= \frac{3(2I-K)}{8(I-K)} \sigma_Z^2(T_C, H) = \\ &= \left( \frac{2}{3} \right)^{1/3} \frac{(2I-K)}{(I-K)^{1/3} (2I-3K)^{2/3}} \left( \frac{\mu_0 H}{k_B T_C} \right)^{2/3}. \end{aligned} \quad (26)$$

Далее, при  $t < 0$  (т.е.  $T > T_C$ ) точное решение кубического уравнения (25) имеет довольно сложный вид (см. [27]):

$$\begin{aligned} \sigma_Z &= \left( \frac{f}{3} \right)^{1/3} \left\{ \left[ \left( \frac{f}{3} |t|^3 + g^2 \right)^{1/2} + g \right]^{1/3} - \right. \\ &\quad \left. - \left[ \left( \frac{f}{3} |t|^3 + g^2 \right)^{1/2} - g \right]^{1/3} \right\}, \end{aligned} \quad (27)$$

где для компактности обозначено

$$f \equiv \frac{16}{3} \left( \frac{I-K}{2I-3K} \right), \quad g \equiv \frac{\mu_0 H}{k_B T_C}.$$

В пределе  $|t|^3 \ll (\mu_0 H / k_B T_C)^2$  решение (27) можно приближенно представить в виде

$$\begin{aligned} \sigma_Z &\approx 2 \left[ \frac{4}{9} \left( \frac{I-K}{2I-3K} \right) \frac{\mu_0 H}{k_B T_C} \right]^{1/3} - \\ &- \frac{4}{3} \left[ \frac{2}{3} \left( \frac{I-K}{2I-3K} \right)^2 \frac{k_B T_C}{\mu_0 H} \right]^{1/3} |t| + \dots, \end{aligned} \quad (28)$$

что при  $|t| \rightarrow 0$  переходит в результат (26). В противоположном пределе  $|t|^3 \gg (\mu_0 H / k_B T_C)^2$  из (27)

получается стандартный результат для  $\sigma_Z$ , пропорциональный линейной восприимчивости:

$$\begin{aligned} \sigma_Z(T > T_C) &\approx \frac{2}{3} \left( \frac{\mu_0 H}{k_B T_C} \right) \times \frac{1}{|t|} = \frac{2}{3} \frac{\mu_0 H}{k_B (T_C - T)}; \\ q_0(T > T_C) &\approx \frac{1}{6} \left( \frac{2I-K}{I-K} \right) \left[ \frac{\mu_0 H}{k_B (T_C - T)} \right]^2. \end{aligned} \quad (29)$$

Наконец, в области магнитного упорядочения при  $t > 0$  увеличение  $\sigma_Z$  в поле  $H$  добавляется к величине спонтанной намагниченности  $\sigma_{Z0}(T)$ . Тогда представим  $\sigma_Z(H, T)$  в виде ряда по степеням  $H$  как

$$\begin{aligned} \sigma_Z(T, H) &= \sigma_{Z0}(T) + \frac{d}{dH} \sigma_Z(T, H) \Big|_{H=0} H + \dots = \\ &= \sigma_{Z0}(T) + \Delta \sigma_Z(T, H) \end{aligned} \quad (30)$$

и ограничимся вычислением поправки  $\Delta \sigma_Z(T, H) \approx \frac{d}{dH} \sigma_Z(T, H) \Big|_{H=0} H$ , линейной по магнитному полю  $H$ . Дифференцируя уравнение (25) по  $H$  и переходя к пределу  $H \rightarrow 0$ , найдем  $d\sigma_Z(H)/dH \Big|_{H=0}$ . В результате получим

$$\begin{aligned} \Delta \sigma_Z(T, H) &\approx \frac{d\sigma_Z(T, H)}{dH} \Big|_{H=0} H \approx \\ &\approx \frac{1}{3} \left( \frac{\mu_0 H}{k_B T_C} \right) \times \frac{1}{t} = \frac{\mu_0 H}{3k_B (T_C - T)}. \end{aligned} \quad (31)$$

Аналогичным образом, учитывая взаимосвязь  $q_0$  и  $\sigma_Z^2(T, H = 0)$  (23), можно получить увеличение квадрупольного параметра порядка  $\Delta q_0$  в магнитном поле при  $T < T_C$ :

$$\begin{aligned} \Delta q_0(T < T_C, H) &\approx \frac{3}{4} \left( \frac{2I-K}{I-K} \right) \sigma_Z(T, H = 0) \times \\ &\times \Delta \sigma_Z(T, H) = \frac{2I-K}{[3(I-K)(2I-3K)]^{1/2}} \times \\ &\times \left[ \frac{\mu_0 H}{k_B \sqrt{T_C (T_C - T)}} \right]. \end{aligned} \quad (32)$$

Учитывая, что разложение  $\sigma_Z(T, H)$  (30) в ряд (для области температур  $T < T_C$ ) подразумевает использование соотношения  $\sigma_{Z0} \gg \Delta \sigma_Z(T, H) \approx \frac{d}{dH} \sigma_Z(T, H) \Big|_{H=0} H$ , получим условие  $t^3 \gg (\mu_0 H / k_B T_C)^2$  на область применимости результата (31), аналогичное условию применимости соотношения (29) для  $\sigma_Z(T, H)$  в области температур  $T > T_C$ .

4

Рассчитаем изменение магнитной энтропии  $\Delta S_M(T, H_f)$  (на один магнитный атом) при изотермическом намагничивании от начального поля  $H_i = 0$  до конечного поля  $H_f$  [3]:

$$\begin{aligned} \Delta S_M(T, H_f) &= \int_0^{H_f} \left( \frac{dm(T, H)}{dT} \right)_H dH = \\ &= \mu_0 \int_0^{H_f} \left( \frac{d\sigma_Z(T, H)}{dT} \right)_H dH. \end{aligned} \quad (33)$$

Для  $T = T_C$ , предварительно продифференцировав кубическое уравнение (25) по  $T$ , получим

$$\frac{d\sigma_Z}{dT} = \frac{\sigma_Z}{T_C - T - \frac{9}{16} \left( \frac{2I - 3K}{I - K} \right) T_C \sigma_Z^2(T, H)}, \quad (34)$$

что при  $T \rightarrow T_C$  дает

$$\begin{aligned} \left. \frac{d\sigma_Z}{dT} \right|_{T=T_C} &= -\frac{16}{9} \left( \frac{I - K}{2I - 3K} \right) \frac{1}{T_C \sigma_Z(T_C, H)} = \\ &= -\frac{2}{T} \left[ \frac{4(I - K)}{9(2I - 3K)} \right]^{2/3} \left( \frac{k_B T_C}{\mu_0 H} \right)^{1/3}. \end{aligned} \quad (35)$$

Отсюда получаем

$$\Delta S_M(T_C, H_f) = -3k_B \left[ \frac{4(I - K)}{9(2I - 3K)} \frac{\mu_0 H_f}{k_B T_C} \right]^{2/3}. \quad (36)$$

В области  $T > T_C$ , используя (28) и (31), найдем

$$\begin{aligned} \frac{d\sigma_Z(T > T_C)}{dT} &= -\frac{2\mu_0 H}{3k_B(T - T_C)^2}, \\ \Delta S_M(T > T_C, H_f) &= \\ &= -\frac{1}{3} k_B \left[ \frac{\mu_0 H_f}{k_B(T - T_C)} \right]^2. \end{aligned} \quad (37)$$

Наконец, в ферромагнитной области при  $T < T_C$ , где в интервале относительных температур выполняется условие  $t^3 \gg (\mu_0 H_f / k_B T_C)^2$  и где увеличение намагниченности в поле описывается поправкой, линейной по магнитному полю (31), имеет место

$$\begin{aligned} \frac{d\sigma_z(T < T_C)}{dT} &= \frac{d}{dT} \sigma_{z0}(T) + \\ &+ \frac{d}{dT} \Delta \sigma_Z(T, H) = \\ &= -2 \left[ \frac{I - K}{3(2I - 3K) T_C (T_C - T)} \right]^{1/2} + \frac{\mu_0 H}{3k_B(T_C - T)^2}. \end{aligned} \quad (38)$$

Тогда изменение магнитной энтропии будет состоять из двух вкладов с противоположными знаками

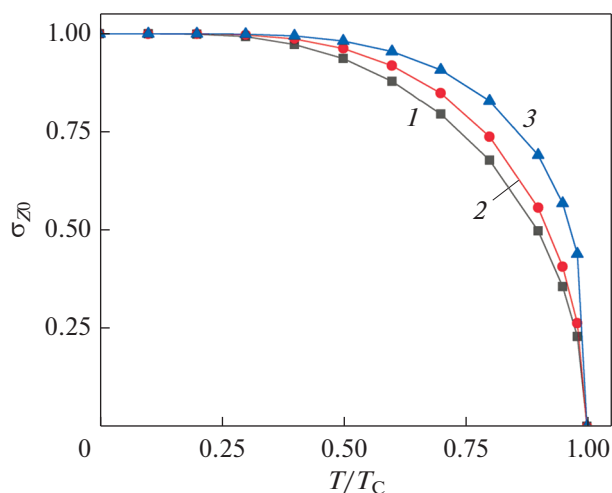
$$\begin{aligned} \Delta S_M(T < T_C, H_f) &= k_B \left\{ -2 \left[ \frac{I - K}{3(2I - 3K)} \right]^{1/2} \times \right. \\ &\times \left. \left( \frac{\mu_0 H_f}{k_B [T_C (T_C - T)]^{1/2}} \right) + \frac{1}{6} \left[ \frac{\mu_0 H_f}{k_B (T_C - T)} \right]^2 \right\} \approx \\ &\approx -2k_B \left[ \frac{I - K}{3(2I - 3K)} \right]^{1/2} \left( \frac{\mu_0 H_f}{k_B [T_C (T_C - T)]^{1/2}} \right), \end{aligned} \quad (39)$$

причем в этой области температур положительным вкладом, квадратичным по магнитному полю, можно пренебречь вследствие вышеупомянутого условия малости  $(\mu_0 H_f / k_B T_C)^2 \ll t^3 = \left( 1 - \frac{T}{T_C} \right)^3$ .

Таким образом, в ферроквадрупольное упорядочение в магнетике с дополнительным биквадратичным обменом и двумя параметрами порядка (относительной намагниченностью и квадрупольным) дает те же критические степенные показатели в полевых и температурных зависимостях намагниченности и магнитной энтропии, что получается в теории фазовых переходов II рода в приближении среднего поля для обычного ферромагнетика с одним билинейным гейзенберговским обменом и одним дипольным параметром порядка. Однако важно отметить, что коэффициенты, стоящие в выражениях для намагниченности или энтропии перед полевыми или температурными переменными в степенном виде, теперь существенно зависят от соотношений параметров билинейного  $I$  и биквадратичного обменов  $K$  – они увеличиваются по мере роста отношения  $K/I$  от минимального значения при  $K/I = 0$  и становятся сингулярными в трикритической точке  $K/I = 2/3$ , что знаменует переход в область фазовых переходов I рода.

5

Если с помощью численных расчетов уравнения (15) проследить спонтанное поведение параметров порядка  $\sigma_{z0}$  и  $q_0(H = 0)$  для всего интервала температур от  $T = 0$  до точки Кюри  $T_C$  (19) при разных соотношениях параметров обмена  $K/I$ , то видно следующее. С одной стороны, увеличение параметра биквадратичного обмена  $K$  при фиксированном параметре билинейного обмена  $I$  приводит к понижению температуры Кюри  $T_C$  (19). С другой стороны, в области высоких относительных температур  $t = T/T_C \geq 1/2$  увеличение отношения  $K/I$  ведет к заметному увеличению параметров порядка  $\sigma_{z0}$  и  $q_0(H = 0)$  по срав-

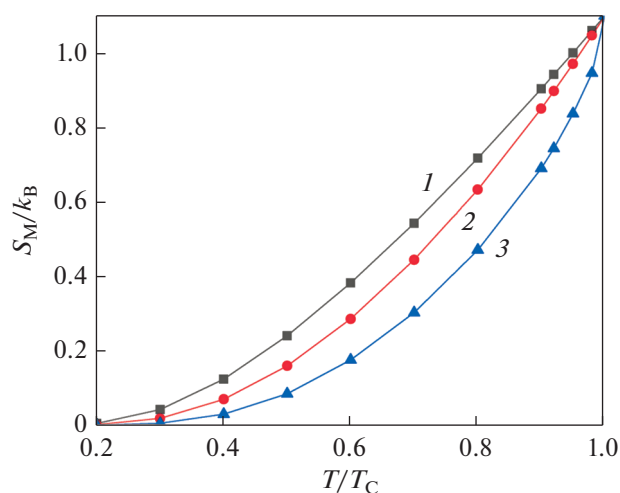


**Рис. 1.** Температурная зависимость спонтанной относительной намагниченности на шкале относительных температур  $t = T/T_C$  (где  $k_B T_C = \frac{2}{3} \left( I - \frac{1}{2} K \right) z$ ) для случаев  $K/I = 0$  (кривая 1),  $K/I = 1/3$  (кривая 2) и  $K/I = 2/3$  (кривая 3).

нению со случаем только одного билинейного обмена ( $K = 0$ ). Это видно из рис. 1, где представлены расчеты  $\sigma_{z0}(t)$  для трех случаев:  $K/I = 0$  – отсутствие биквадратичного обмена,  $K/I = 1/3$  и  $K/I = 2/3$  (для трикритической точки на шкале отношений  $K/I$ ).

Если говорить о роли квадрупольных параметров порядка в термодинамике магнитных систем, то надо иметь в виду, что, вообще говоря, квадрупольный параметр порядка  $q_0 = 3 \langle S_z^2 \rangle - S(S+1)$  существует и в обычной гейзенберговском ферромагнетике с билинейным обменом в случаях спинов  $S \geq 1$ . Однако в отсутствие биквадратичного обмена ( $K = 0$ ) этот параметр не связан динамическим взаимодействием с гамильтонианом магнитной системы, и поэтому он не дает никакого вклада в термодинамику магнетика.

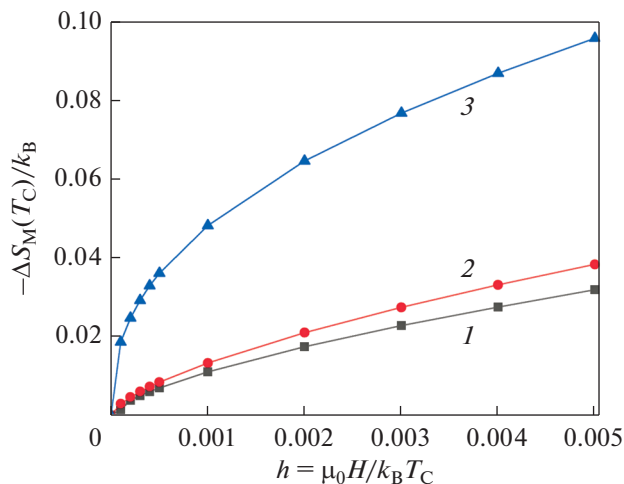
Заметим также, что аналитические результаты для поведения параметров порядка  $q_0$  и  $\sigma_z$  (формулы (23) и (26)) и соответственно изменения энтропии  $\Delta S_M$  (36), (39) получены путем разложения термодинамического потенциала  $F_f$  (12) в ряд по малым значениям  $\sigma_0 \ll 1$  и  $q_0 \ll 1$ , вследствие чего самосогласованные уравнения для  $\sigma_z$  и  $q_0$  (15) были заменены на приближенные кубические уравнения (21) и (25). Поэтому полученные формулы справедливы только в небольшом интервале  $(T_C - T) \ll T_C$  температурных отклонений от точки Кюри  $T_C$ . Кроме того, даже в этом темпе-



**Рис. 2.** Зависимость магнитной энтропии  $S_M/k_B$  в случаях спонтанного упорядочения от относительной температуры  $T/T_C$  для трех значений отношений  $K/I$ , а именно, кривая 1 – для  $K/I = 0$  (отсутствие биквадратичного обмена), кривая 2 – для  $K/I = 1/3$  и кривая 3 – для  $K/I = 2/3$  (трикритическая точка фазовых переходов на шкале отношений  $K/I$ ).

ратурном интервале появляются ограничения на допустимый диапазон отношений параметров обмена  $K/I$ , так как коэффициенты кубического уравнения (25) и соответственно выражения для  $\sigma_z$  и  $q_0$  (23) и (26) содержат опасный множитель  $(2I - 3K)^{-1}$ . Это ведет к расходимости результатов при  $K/I \rightarrow 2/3$  и к безусловному нарушению вблизи трикритической точки  $K/I = 2/3$  исходных ограничений на малость параметров  $\sigma_z \ll 1$  и  $q_0 \ll 1$  даже при  $T \approx T_C$ . Поэтому представляет интерес выяснить в более широком интервале температур и для всего диапазона отношений параметров обмена  $K/I$ , допускающих переход II рода, общий характер дополнительного влияния квадрупольного параметра порядка  $q_0$  и параметра биквадратичного обмена  $K$  на физические свойства магнетика по сравнению со случаем ферромагнетика только с билинейным обменом ( $I \neq 0$ ).

На рис. 2 представлен результат численного расчета температурной зависимости магнитной энтропии  $S_M/k_B$  в области спонтанного магнитного упорядочения  $0 < T < T_C$ , вычисленной по формуле (13) с использованием предварительно рассчитанных параметров порядка  $\sigma_z$  и  $q_0$  из (15) для тех же значений  $K/I$ , что были использованы при расчете спонтанной намагниченности на рис. 1. Видно, что если сравнить ферромагнитное состояние в случае только билинейного обмена



**Рис. 3.** Зависимость изменения магнитной энтропии  $-\Delta S_M(T_C)/k_B$  в точке Кюри  $T_C$  от безразмерного магнитного поля  $h = \mu_0 H / k_B T_C$  для трех случаев отношений параметров обмена: 1) кривая 1 – для  $K/I = 0$  (отсутствие биквадратичного обмена), 2) кривая 2 – для  $K/I = 1/3$  (середина интервала отношений  $K/I$ , допускающего фазовый переход II рода), 3) кривая 3 – для  $K/I = 2/3$  (переход в трикритической точке, на границе интервала отношений  $K/I$  для переходов II рода).

( $K = 0, I \neq 0$ ) и ферроквадрупольные состояния с дополнительным биквадратичным обменом ( $K \neq 0, I \neq 0$ ) при одинаковой температуре Кюри  $T_C$ , то при одинаковом удалении по температуре от  $T_C$  ферро-квадрупольные состояния будут более упорядочены – они имеют более низкую магнитную энтропию.

Наконец, рис. 3 демонстрирует полевую зависимость изменения магнитной энтропии  $\Delta S_M(T_C, H)/k_B$  в точке Кюри  $T_C$ , вычисленную из выражения (13) с использованием  $\sigma_z(T_C, H \neq 0)$  и  $q_0(T_C, H \neq 0)$  из уравнения (15). Видно, что наличие биквадратичного обмена  $K \neq 0$  и квадрупольного параметра порядка  $q_0 \neq 0$  заметно увеличивает абсолютную величину изменения энтропии

Работа частично поддержана проектом РФФИ № 18-02-00281 А.

#### СПИСОК ЛИТЕРАТУРЫ

1. *Tishin A.M., Spichkin Y.I.* The magnetocaloric effect and its applications // Institute of Physics Publishing, Bristol and Philadelphia. 2003. 480 p.
2. *Gschneider K.A.Jr., Pecharsky V.K., Tsokol A.O.* Recent developments in magnetocaloric materials // Rep. Progr. Phys. 2005. V. 68. P. 1479–1539.
3. *Oliveira N.A., von Ranke P.J.* Theoretical aspects of the magnetocaloric effect // Phys. Reports. 2010. V. 489. P. 89–153.
4. *Ram N.R., Prakash M., Naresh U., Kumar N.S., Sar-mash T.S., Subbarao T., Kumar R.J., Kumar G.R., Naidu K.C.B.* Review on magnetocaloric effect and materials // J. Supercond. Nov. Magn. 2018. V. 31. P. 1971–1979.
5. *Bean C.P., Rodbell D.S.* Magnetic disorder as a first-order phase transformation // Phys. Rev. 1962. V. 126. P. 104–115.
6. *Валиев Э.З.* Энтропия и магнитотепловые эффекты в ферромагнетиках с фазовыми переходами первого и второго рода // ЖЭТФ. 2009. Т. 135. С. 314–321.
7. *Валиев Э.З.* О соотношении Максвелла в ферромагнетиках и ферримагнетиках // ФММ. 2020. Т. 121. С. 789–793.
8. *Anderson P.W.* New approach to the theory of superexchange interactions // Phys. Rev. 1959. V. 115. P. 2–11.
9. *Huang N.L., Orbach R.* Biquadratic superexchange // Phys. Rev. Lett. 1964. V. 12. P. 275–277.
10. *Kobler U., Mueller R., Smardz L., Maier D., Fisher K., Olefs B., Zinn W.* Biquadratic exchange interaction in the Europium monochalcogenides // Z. Phys. B. 1996. V. 100. P. 497–506.
11. *Novak P., Chaplygin I., Seifert G., Gemming S., Lasowski R.* Ab-initio calculation of exchange interactions in  $YMnO_3$  // Computational Mater. Sci. 2008. V. 44. P. 79–81.
12. *Wysocki A.I., Beloshchenko K.D., Ke L., van Schilf-garde M., Antropov V.P.* Biquadratic magnetic interaction in parent ferropnictides // J. Phys.: Conf. Series. 2013. V. 449. O12024.
13. *Slonzewski J.C.* Origin of biquadratic exchange in magnetic multilayers (invited) // J. Appl. Phys. 1993. V. 73. P. 5957–5962.
14. *Kartsev A., Augustin M., Evans R.F.L., Novoselov K.S., Santes E.J.G.* Biquadratic exchange interactions in two-dimensional magnets // NPY: Comp. Mater. 2020. 150.
15. *Spisak D., Hafner J.* Theory of bilinear and biquadratic exchange interactions in iron: bulk and surface // JMMM. 1997. V. 168. P. 257–268.
16. *Brown H.A.* Heisenberg ferromagnet with biquadratic exchange // Phys. Rev. B. 1971. V. 4. P. 115–121.
17. *Sivardiere J., Blume M.* Dipolar and quadrupolar ordering in  $S = 3/2$  Ising systems // Phys. Rev. B. 1972. V. 5. P. 1126–1134.
18. *Nauciel-Bloch M., Sarma G., Castets A.* Spin-one Heisenberg ferromagnet in the presence of biquadratic exchange // Phys. Rev. B. 1972. V. 5. P. 4603–4609.
19. *Chen H.H., Levy P.M.* Dipole and quadrupole phase transitions in spin-1 models // Phys. Rev. B. 1973. V. 7. P. 4267–4284.
20. *Мамеев В.М.* Квантовый квадрупольный магнетизм и фазовые переходы в присутствии биквадратичного обмена // ЖЭТФ. 1974. Т. 65. P. 1626–1636.



21. *Матвеев В.М.* Неколлинеарные структуры, фазовые переходы и метамагнетизм при биквадратичном обмене // ФТТ. 1974. Т. 16. Р. 1635–1643.
22. *Барьяхтар В.Г., Ганн В.В., Яблонский Д.А.* К теории магнитоупорядоченных кристаллов с биквадратичным обменным взаимодействием // ФТТ. 1975. Т. 17. Р. 1744–1748.
23. *Brown H.A.* Biquadratic exchange and first-order ferromagnetic phase transitions // Phys. Rev. B. 1975. V. 11. P. 4725–4727.
24. *Chakraborty K.G.* Phase transitions in a Heisenberg ferromagnet in the presence of biquadratic exchange: isotropic case // J. Phys. C: Solid St. Phys. 1976. V. 9. P. 1499–1509.
25. *Матвеев В.М.* Перестройка квантового квадрупольного упорядочения в магнитном поле // ФТТ. 1983. Т. 25. С. 3655–3664.
26. *Вальков В.В., Мацулева Г.Н., Овчинников С.Г.* Влияние сильного кристаллического поля на спектральные свойства магнетиков с биквадратичным обменом // ФТТ. 1989. Т. 31. С. 60–67.
27. *Корн Г., Корн Т.* Справочник по математике. М.: Наука. Физматлит. 1973, 632 с.